

## التصنيع الحيوي لجسيمات ثانى اوكسيد التيتانيوم النанوية بوساطة فطريات معزولة من التربة

عامر حسن عباس

فرع التقنيات الإحيائية /قسم العلوم التطبيقية /الجامعة التكنولوجية

### الخلاصة

هدفت الدراسة الحالية إلى التصنيع الحيوي (Green biosynthesis) لجسيمات ثانى اوكسيد التيتانيوم النانوية باستخدام الفطر *fusariumoxysporum* المعزول من التربة بوساطة تقنية التخافيف المتسلسلة و تراوحت أحجام الجسيمات بين 30-90 nm. تم استعمال الكتلة الحيوية لتصنيع جسيمات ثانى اوكسيد التيتانيوم النانوية. تم تشخيص الجسيمات النانوية باستعمال عدة تقنيات ومنها طريقة مطياف الأشعة فوق البنفسجية(UV-visible spectroscopy) والمجهر الذري الإلكتروني (Atomic force microscope) وجهاز حيود الأشعة السينية(X Ray diffraction) والمجهر الإلكتروني (Scanning electron microscope). استخدمت تقنية الانتشار بالحفر لتقييم حساسية البكتيريا لهذه الجسيمات إذ استخدم نوعان من البكتيريا الموجبة والسلبية لصبغة گرام وأظهرت النتائج فعالية بایولوجیة واضحة ضد البكتيريا المستعملة.

كلمات مفتاحية: التصنيع الحيوي لاوكسيد التيتانيوم النانوي، فطر *fusariumoxysporum* ، فعالية حيوية مضادة للبكتيريا .

### 1-المقدمة

علم النانوتكنولوجى هو تطبيق العلم والتكنولوجيا من أجل السيطرة على المادة على صعيد المستوى الجزيئي إذ تختلف الجسيمات في المستوى النانوى بصفاتها بشكل ملحوظ عن المادة وهي في حالتها الطبيعية (غيرالنانوية) ومن الممكن إعطاء تعريف آخر لعلم النانوتكنولوجى وهو القدرة على تصميم و تشخيص و إنتاج وتطبيق التراكيب والأجهزة والأنظمة بوساطة السيطرة على شكل وحجم المادة في المستوى النانوى (1).

تعد الجسيمات النانوية الوحدة البنائية الأساسية لعلم النانوتكنولوجى إذ يتم تحضيرها بطرق فيزيائية وأخرى كيميائية ولكن بعض الطرق الكيميائية تولد مواد سامة كنواتج

عرضية لفاعلاتها المعقّدة ومن غير الممكن أن تتجنب تكوين مثل هكذا مواد وأما الطرق الفيزيائية فتطلب استعمال مواد مكلفة و تستهلك معدلات طاقة عالية من أجل إنتاج تلك الجسيمات (3,2) من هنا تطورت حاجة ملحة لتطوير طرق صديقة للبيئة لإنتاج الجسيمات النانوية فكانت الطرق البايولوجية هي الحل لهذه المشاكل (إنتاج المواد السامة واستعمال مواد مكلفة واستهلاك الطاقة العالية) إذ تم استعمال الأحياء المجهرية وكذلك المستخلصات النباتية من أجل التصنيع العيوي الصديق للبيئة آذ وفرت هذه الطرق وسائل أمنة و صديقة للبيئة وقليلة الكلفة المادية آذ كانت هذه الطرق بدائل عن الطرق الفيزيائية والكميائية. من المعروف مسبقاً استعمال الأحياء المجهرية كأدوات لمعالجة المواد السامة من خلال اختزال ايونات المواد المختلفة لكن استعمال هذه الأحياء المجهرية كوسائل وأدوات لتحضير الجسيمات النانوية لم يظهر إلا حديثاً(في العقود الأخيرة) إذ يتم التصنيع العيوي بانزراع الايونات من المحاليل المتواجدة بها(أي اختزال تلك الايونات ) ومن ثم تجميع تلك الايونات المختزلة على هيئة عنصر وذلك بوساطة الأنزيمات التي أنتجها الكائن المجهي المستعمل في العملية ومن الممكن تصنيف عملية التصنيع العيوي إلى نوعين:تصنيع خارج خلوي وتصنيع داخل خلوي اعتماداً على المكان الذي تم فيه التصنيع العيوي لتلك الجسيمات النانوية (5,4).

لقد ظهرت الفطريات والنباتات على إنها البديل البسيطة والفعالة للطرق الفيزيائية والكميائية المستخدمة لتصنيع الجسيمات النانوية (6) فمن الملاحظ اقتران معظم أنواع الفطريات بالتصنيع العيوي للجسيمات النانوية سواء كان بالتصنيع الخارج خلوي أم التصنيع الداخل خلوي(7) لكن ومن ناحية أخرى فإن الميكانيكية الدقيقة للتصنيع العيوي لتلك الجسيمات بوساطة الفطريات والمستخلصات النباتية لم تفهم أو تعرف بشكل واضح لكن افترض العلماء وجود جزيئات حياتية هي المسؤولة عن عملية التصنيع العيوي للجسيمات النانوية ولكن في التصنيع العيوي الخارج الخلوي خصوصاً في الفطريات لوحظ إفراز كميات من الأنزيمات المختزلة وعوامل التغطية (هي عوامل تغلف الجسيمات النانوية) إذ افترض العلماء مشاركة هذه الأنزيمات والعوامل بالتصنيع العيوي لتلك الجسيمات النانوية وكذلك مشاركتها بتحديد الشكل والحجم النهائي لتلك الجسيمات النانوية (8).

اوكسيد التيتانيوم هو مادة شبه موصلة يمتلك فجوة طاقة واسعة ويكون بشكله المتبلور أما rutile أو anatase أو brookite وله استعمالات عديدة ومتعددة أشهرها استعماله في تطبيقات الخلايا الشمسية والمحسّنات الكيميائية والأجهزة الالكترونية المايكروية(9)، كذلك يستخدم في مجالات عدة أخرى إذ قام الباحثون مؤخرا بالبحث عن التطبيقات الممكنة لثاني اوكسيد التيتانيوم في علوم الحياة إذ أوضحت النتائج امتلاكه خصائص وصفات تساعد على تثبيط النمو البكتيري وكذلك من الممكن تطوير تلك القابلية من خلال تغليفه ببعض المعادن مثل الذهب، الفضة والنحاس. تعد الجسيمات النانوية لثاني اوكسيد التيتانيوم مستقرة في محلول المائي وقدرة على البقاء مستقرة في المحاليل القاعدية والحامضية (10).

في الدراسة الحالية تم التصنيع الحيوى لجسيمات ثانى اوكسيد التيتانيوم النانوى باستعمال الفطر *Fusarium oxysporum* وتم تشخيص تلك الجسيمات النانوية بوساطة تقنيات وهي مطياف الأشعة فوق البنفسجية(UV) والمجهر الذري الالكتروني (AFM) وجهاز حيود الأشعة السينية(XRD) والمجهر الالكتروني الماسح(SEM) ومن ثم اختبار الفعالية المضادة البكتيرية للبكتيريا الموجبة والسلبية لصبغة كرام للجسيمات المخلقة.

## 2- المواد وطرق العمل

### 1- المواد الكيميائية:

المادة	الشركة	بلد المنشأ
Potato dextrose agar , Nutrient (PDA) agar	Himedia	India
TiO <sub>2</sub>	BDH	England
lactophenol cotton blue stain	Sigma-Aldrich	India
Standard MacFarland solution (matching a turbidity of 1.5×10 <sup>8</sup> )	BioMérieux	France
MgSO <sub>4</sub> . 7H <sub>2</sub> O	Aldrich	England
KH <sub>2</sub> PO <sub>4</sub>	Aldrich	England
K <sub>2</sub> HPO <sub>4</sub>	Aldrich	England
(NH <sub>4</sub> ) <sub>2</sub> SO <sub>4</sub>	Aldrich	England
Yeast extract	Himedia	India
Glucose	Himedia	India

## 2-2 جمع عينات التربة وعزل الفطريات:

جمعت عينات التربة العشبية من حدائق الجامعة التكنولوجية في بغداد/العراق. تم جمع هذه العينات في فصل الخريف من على عمق 3-4 سم باستعمال ملعقة مسطحة (spatula) تم نقلها من بعد ذلك في أكياس بلاستيكية معقمة ومحكمة الإغلاق خزنت في ثلاجة درجة حرارتها  $4^{\circ}$  من أجل استعمالها لاحقا. عزلت الفطريات بتقنية التخافيف المتسلسلة والنشر بالأطباق، إذ أضيف واحد غرام من التربة إلى 9 مل من الماء المقطر المعقم وحضرت التخافيف المتسلسلة للحصول على التراكيز من  $10^{-1}$  إلى  $10^{-6}$ . أخذ حجم مقداره 0.1 مل من كل تخفيف ونقل إلى طبق حاو على الوسط الزرعي (PDA) ونشر بواسطة ناشر معقم ومن ثم حضنت الأطباق في درجة حرارة الغرفة ( $25^{\circ}$ ) لمدة 3-4 أيام حتى تتنفس العزلات الفطرية وذلك بإعادة زرعها على أطباق (PDA). حفظت هذه العزلات الندية في ثلاجة بدرجة حرارة  $4^{\circ}$  من أجل استعمالها لاحقا (11).

## 2-3 تشخيص العزلات الفطرية:

تمت معاينة العزلات الفطرية باستعمال العدسة اليدوية (10X) سجلت الملاحظات الخاصة بشكل ولون وطبيعة مستعمرة الفطر. أما التشخيص المجهرى فتم باستعمال طريقة Lactophenol Cotton Blue mounting. من خلال ملاحظة شكل الخلايا، تتشكل سلاسل السبورات، الهايافات وتركيب الغزل الفطري (12).

## 2-4 التصنيع الحيوي لجسيمات ثانوي اوكسيد التيتانيوم النانوية

### 2-4-1 إنتاج الكتلة الحيوية :

تم الحصول على الكتلة الحيوية للفطر *Fusarium oxysporum* من خلال تتميته في وسط سائل يحضر مختبريا بإذابة المواد التالية في دورق يحتوي على لتر من الماء المقطر ( $MgSO_4 \cdot 7H_2O$  0.1g/L),  $K_2HPO_4$  (2.0g/L) و  $(NH_4)_2SO_4$  (1.0g/L) عقم ومستخلص الخميرة (0.6g/L) وكلوكوز (10g/L). ومن ثم حضن في حاضنة هزاردة عدد دوراتها 150 rpm لمدة ثلاثة أيام بدرجة حرارة  $25^{\circ}C$ ، بعدها تم أخذ الكتلة الحيوية الناتجة باستعمال ورق ترشيح واتمان رقم 1 (Wattman No.1) وغسلها بشكل جيد بماء مقطر منزوع الايونات للتخلص من بقايا الوسط الزرعي العالقة (13).

التصنيع الحيوي لجسيمات ثانوي اوكسيد التيتانيوم النانوية بوساطة فطريات معزولة من التربة .....  
عاصم حسن حماس

#### 4-2 التصنيع الحيوي لجسيمات ثانوي اوكسيد التيتانيوم النانوية:

أخذ 20 غ من الكثلة الحيوية للفطر *Fusariumoxysporum* نقلت إلى دورق يحتوي على 200 مل من الماء المقطر حضنت تحت نفس الظروف لمدة ثلاثة أيام في حاضنة هزازة عدد دوراتها 200 rpm درجة حرارة 25°C بعدها تم استخلاص الراشح الخلوي بتمرير المحلول السابق عبر ورقة ترشيح واتمان رقم واحد للتصنيع الحيوي للجسيمات النانوية تم خلط 50 مل من الراشح الخلوي مع 50 مل من 1m M  $\text{TiO}_2$  وتحضن في الظلام في ظروف معقمة في حاضنة هزازة عدد دوراتها 200 rpm درجة حرارة 25°C ولمدة ثلاثة أيام، يتم وضع دورق سيطرة موجب حاوي على الراشح الخلوي للفطر وماء مقطر ودورق سيطرة سالب حاو على 1m M  $\text{TiO}_2$  فقط وتحضن في نفس الظروف (14).

تم تحضير 1m M  $\text{TiO}_2$  وفق المعادلة الآتية (15)

Weight (g) 1000

$$\text{Molarity} = \frac{\text{Weight (g)}}{\text{Molecular Weight (g/mol)} \times \text{Volume (ml)}}$$

#### 5-1 الفحص باستعمال جهاز UV-visible spectrophotometer

تم مراقبة التصنيع الحيوي للجسيمات النانوية دوريًا وذلك باستعمال الجهاز – UV-visible spectrophotometry (في الجامعة التكنولوجية/قسم العلوم التطبيقية/فرع الفيزياء التطبيقية) إذ يتم الفحص بطول موجي مدار 800 nm – 200 nm (16).

#### 5-2 الفحص باستعمال جهاز X Ray diffraction

تم فحص عينة الجسيمات النانوية باستعمال جهاز حيود الأشعة السينية (في الجامعة التكنولوجية/مركز بحاث النانو-تكنولوجي) لتأكيد وجود تلك الجسيمات إذ استعملت كمية قليلة جداً من مسحوق الجسيمات وتم تسجيل النتائج في مدى 30-80 nm (19).

#### 5-3 الفحص باستعمال المجهر الماسح الذري Atomic force microscope

يستخدم هذا النوع من المجاهر لمعرفة الحجم الدقيق للجسيمات النانوية وكذلك لإعطاء صورة ثلاثية الأبعاد للجسيمات النانوية إذ يؤخذ 1 مل من السائل الحاوي على الجسيمات النانوية ووضع تحت المجهر لأغراض الفحص إذ تم استخدام برنامج

وتم الفحص باستخدام المجهر **Granularity accumulation distribution report** الموجود في جامعة النهرین/قسم هندسة الليزر والالكترونيات البصرية (17).

#### 4-5-2 الفحص باستعمال المجهر الالكتروني الماسح **Scanning electron microscope**

تم تحضير العينة من اجل الفحص تحت المجهر (في الجامعة التكنولوجية/مركز أبحاث النانوتكنولوجي) باستعمال شبكة نحاسية مغطاة بالكاربون مع وضع كمية قليلة جداً من العينة فوق هذه الشبكة وتم فحصها بالمجهر لدراسة التركيب الشكليائي (المورفولوجي) للدقائق المصنعة(18).

#### 6-2 فحص الحساسية باستعمال تقنية الانتشار بالحفر **Well diffusion technique**

تم الكشف عن حساسية الأحياء المجهرية تجاه الجسيمات النانوية بطريقة الانتشار بالحفر من خلال تحضير اللقاح بنقل جزء من المستعمرة البكتيرية (*Escherechia coli*) (Nutrient agar) النامية على وسط (*Staphylococcus aureus*, *coli* ووضعها في أنبوبة محكمة الغلق تحتوي على 5 مل من محلول الفسلجي (Normal saline) إذ تم نشر 0.1 مل من العالق البكتيري بوساطة ناشر معقم. عملت ثلاثة حفر في كل طبق بعرض 6 ملم بثاقب الفلين المعقم وملئت هذه الحفر بإضافة 50 مايكرولتر بتراسيز مختلفة من الجسيمات النانوية. حضنت هذه الأطباق في الحاضنة بدرجة حرارة 37° لمدة 24 ساعة. ثم قيست منطقة التثبيط (20).

لتحضير العالق البكتيري تم اخذ عدة مستعمرات (3-2) من البكتيريا المنماة على وسط (Nutrient agar) ونقلت إلى 2 مل من محلول الفسلجي وقورنت عكورة العالق بمحلول ماكفلاند لكي تساوي  $1.5 \times 10^8$  CFU/ml (Standard MacFarland ) ليتم بعدها نشر العالق البكتيري solution (matching a turbidity of  $1.5 \times 10^8$ ) في أطباق بترى الحاوية على وسط Muller Hinton agar بطريقة الفرش (Spreading method) (21).

تم قياس قطرات التثبيط باستعمال المسطرة إذ قيس قطر التثبيط حول مناطق الحفر. تم الحصول على العزلات البكتيريا من مختبرات الدراسات العليا في فرع التقنيات الاحيائية/قسم العلوم التطبيقية/جامعة التكنولوجية والتي تم تشخيصها باستعمال جهاز VITEK.

التصنيع الحيوي لجسيمات ثانوي اوكسيد التيتانيوم النانوية بوساطة فطريات معزولة من التربة .....  
عاصم حسن حماس

حضر محلول الفسلجي Normal saline بإذابة 0.85 غم كلوريد الصوديوم في 90 مل من الماء المقطر ونظمت درجة الحموضة لتساوي 7 ومن ثم كمل الحجم إلى 100 مل وعقم محلول (22).

ملئت الحفر الثلاثة كالتالي:

- 1- تم وضع  $50\mu\text{l}$  من محلول النانوي  $\text{TiO}_2$  تركيزه  $50\mu\text{gm/l}$ .
- 2- تم وضع  $50\mu\text{l}$  من محلول النانوي  $\text{TiO}_2$  تركيزه  $100\mu\text{gm/l}$ .
- 3- تم وضع راشح الفطر فقط.

تم تحضير التراكيز النانوية بتعليق المسحوق النانوي بأوزان  $50 \mu\text{gm}$  و  $100 \mu\text{gm}$  في لتر من الماء المقطر المعقم وقد حضر المسحوق النانوي بدوره من وضع محلول النانوي الذي حضر مسبقاً في جهاز التبخير الدوار . Rotary Evaporator

### 3- النتائج والمناقشة

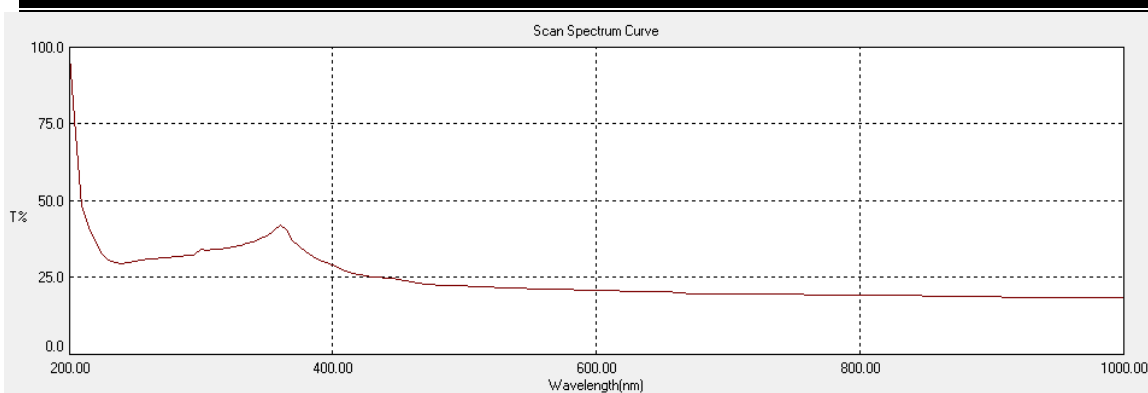
#### 3-1 التصنيع الحيوي لجسيمات ثانوي اوكسيد التيتانيوم النانوية بوساطة الفطر *Fusariumoxysporum*

تم عزل فطر *Fusariumoxysporum* من تربة حدائق الجامعة التكنولوجية إذ تم تشخيصه على الأسس المظهرية للمستعمرة ومظهر الفطر تحت المجهر الضوئي. تم التصنيع الحيوي لجسيمات ثانوي اوكسيد التيتانيوم النانوية بوساطة الفطر *Fusariumoxysporum*, تم تشخيص تلك الجسيمات النانوية بالتقنيات الآتية وهي :

##### UV-visible spectroscopic باستعمال جهاز

إن نتائج هذا الاختبار تعد نتيجة تأكيدية لوجود أو عدم وجود الجسيمات النانوية فمن ملاحظة الشكل (1) لوحظ وجود قمة عند طول موجي بالقرب من (350 nm) والتي تؤكد على وجود الجسيمات النانوية لثاني اوكسيد التيتانيوم إذ تطابقت هذه النتيجة والبحوث السابقة إذ أشار Vijayalakshmi وآخرون (23) إلى إن حزمة الامتصاص تتراوح من 351 إلى 369 nm عند تصنيع الجسيمات النانوية لثاني اوكسيد التيتانيوم بوساطة طرق مختلفة.

التصنیع العیوی لجسیمات ثانی اوکسید التیتانیوم النانویة بوساطة فطربات معزولة من التربة .....  
عامر حسن عباس

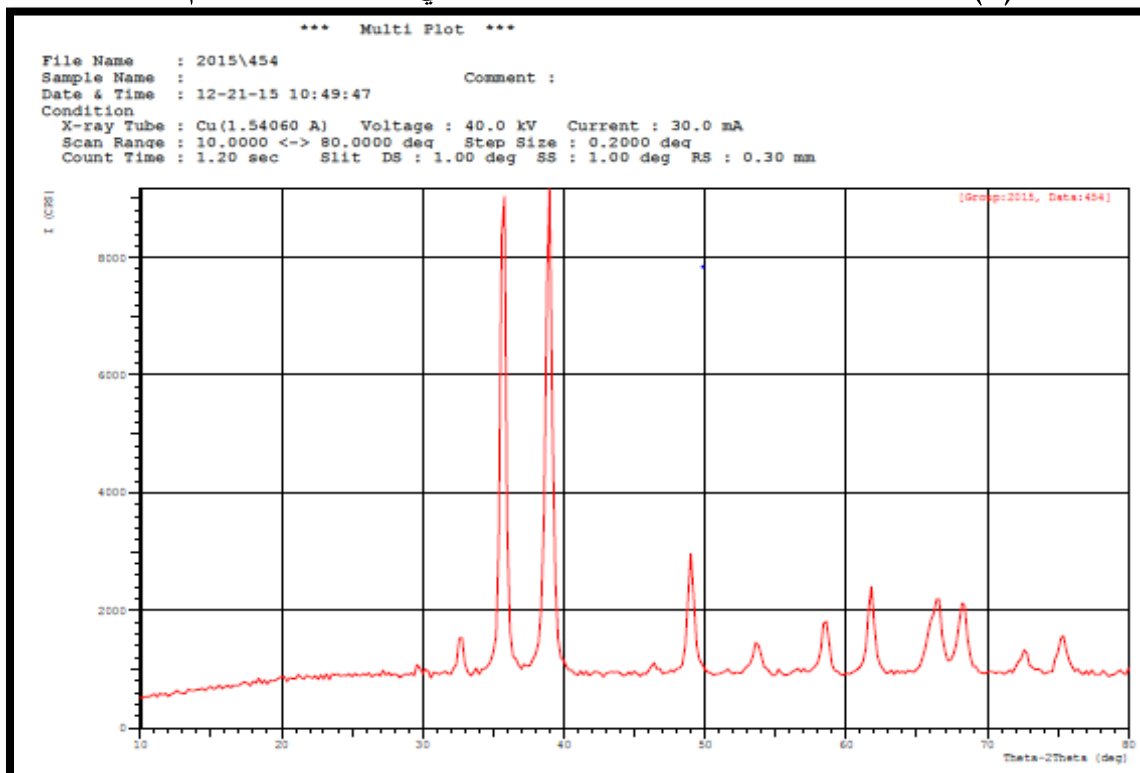


**شكل (1) الفحص باستعمال جهاز UV-visible spectrophotometer**

### 3-1-2 الفحص باستعمال جهاز x ray diffraction

يعتبر هذا الاختبار تاكيديا أيضاً لوجود الجسيمات النانوية إذ من المعروف إن لكل مادة كيميائية قمماً محددة تظهر في الرسم البياني الخاص بالمادة المفحوصة، تظهر القم كـما في الشكل (2) إذ تظهر القم في قيمة زاوية حيود  $2\theta = 10-80^{\circ}$  في  $(25.3^{\circ}, 36^{\circ}, 39^{\circ})$  والتي تمثل طور الجسيمات النانوية لثاني اوکسید التیتانیوم التي اتفقت مع النتائج المقدمة من قبل Rajakumar وآخرين (10) والتي أكدت وجود نفس القيم لزوايا الحيود.

**شكل (2) أنماط حيود الأشعة السينية لجسيمات ثانی اوکسید التیتانیوم النانویة**



### 3-1-3 المجرز الالكتروني

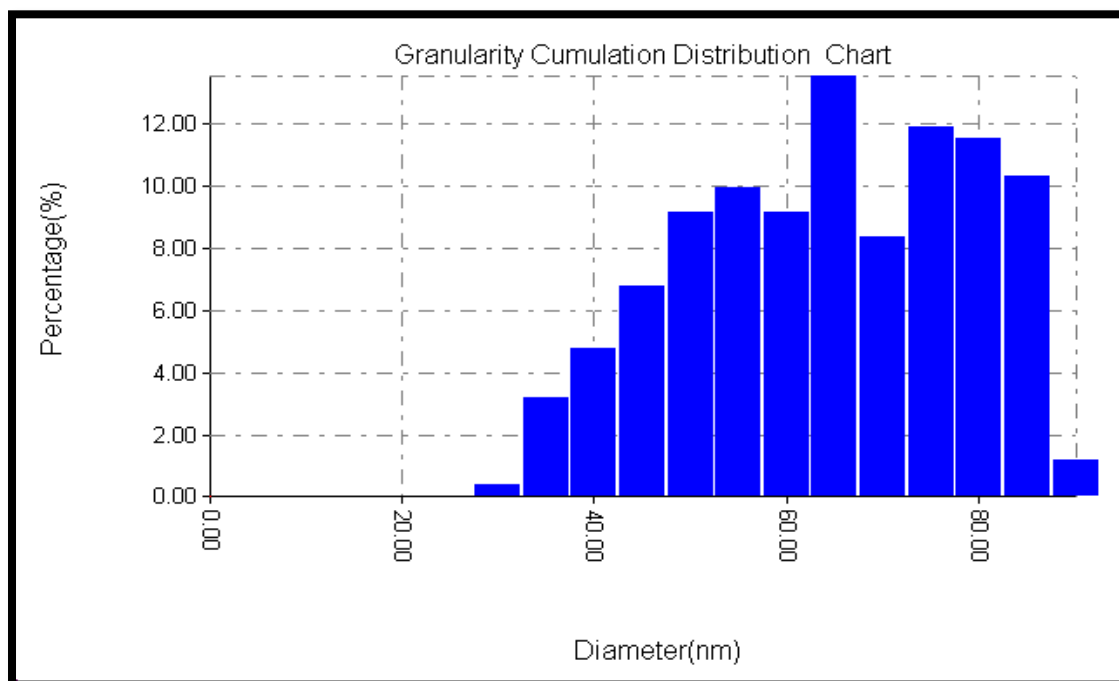
ويعد من أهم الأجهزة المستعملة في هذه الدراسة إذ يقدم الحجم الدقيق للجسيمات النانوية إذ ظهرت الجسيمات بأقطار مختلفة ابتداء من 30 nm وانتهاء ب 90 nm فكان معدل الأقطار هو 61.71 nm (شكل 3) و(جدول 1)، و يعطي كذلك معلومات عن المظهر الطوبوغرافي للجسيمات كما موضح في الأشكال 4 و 5.

**جدول (1) أقطار ونسب أقطار بالنسبة للمجموع الكلي للجسيمات النانوية ثانية**

#### اوکسید التیتانیوم

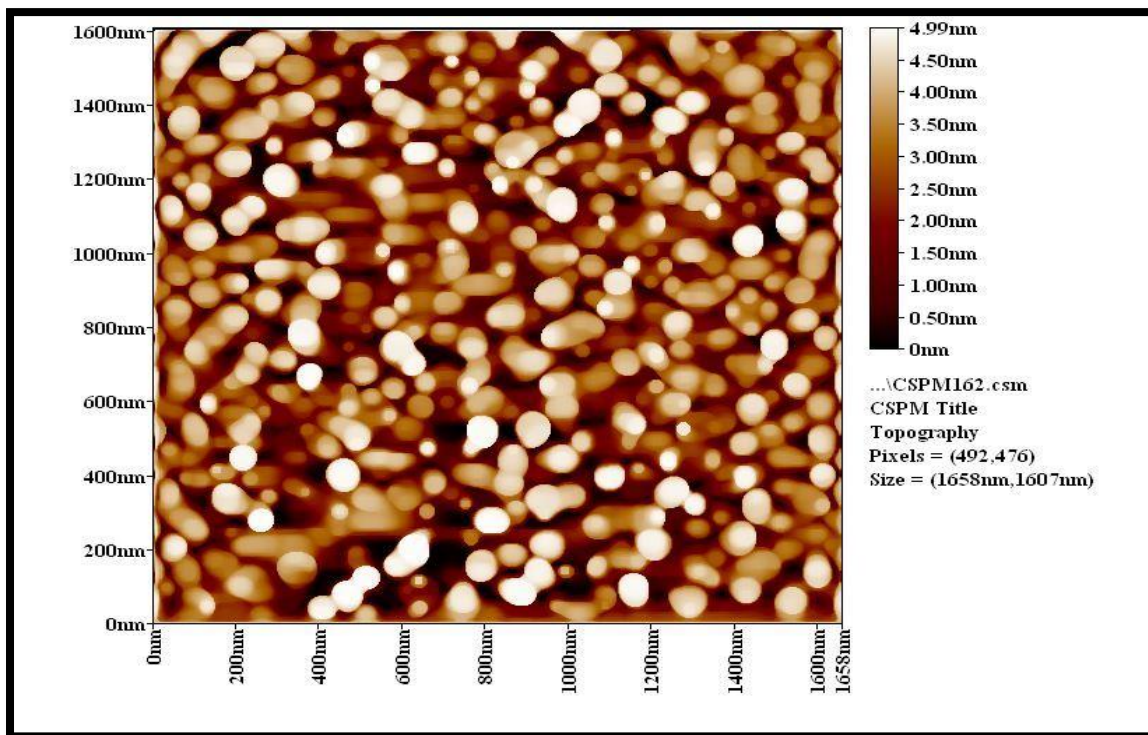
Diameter(nm)<	Volume (%)	Accumulation (%)	Diameter(nm)<	Volume (%)	Accumulation (%)	Diameter(nm)<	Volume (%)	Accumulation (%)
30.00	0.40	0.40	55.00	9.92	34.13	80.00	11.5	88.49
35.00	3.17	3.57	60.00	9.13	43.25	85.00	1	98.81
40.00	4.76	8.33	65.00	13.49	56.75	90.00	10.3	100.00
45.00	6.75	15.08	70.00	8.33	65.08		2	
50.00	9.13	24.21	75.00	11.90	76.98		1.19	

**شكل (3) أقطار الجسيمات النانوية ثانية اوکسید التیتانیوم النانوية ونسبة الأقطار بالنسبة للحجم الكلي للجسيمات النانوية ثانية اوکسید التیتانیوم**

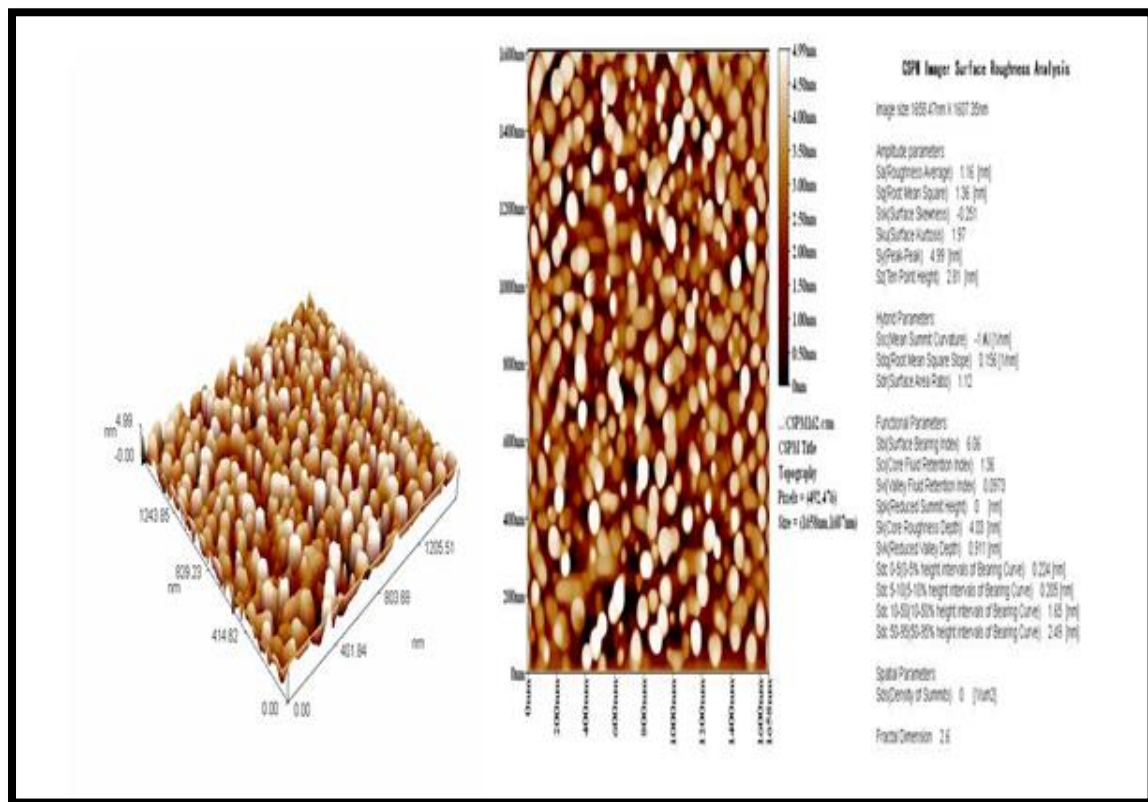


التصنيع العيوي لجسيمات ثانى اوكسيد التيتانيوم النانوية بوساطة فطريات معزولة من التربة .....  
عامر حسن حماس

**شكل (4) يوضح طبوبغرافية جسيمات ثانى اوكسيد التيتانيوم النانوية**



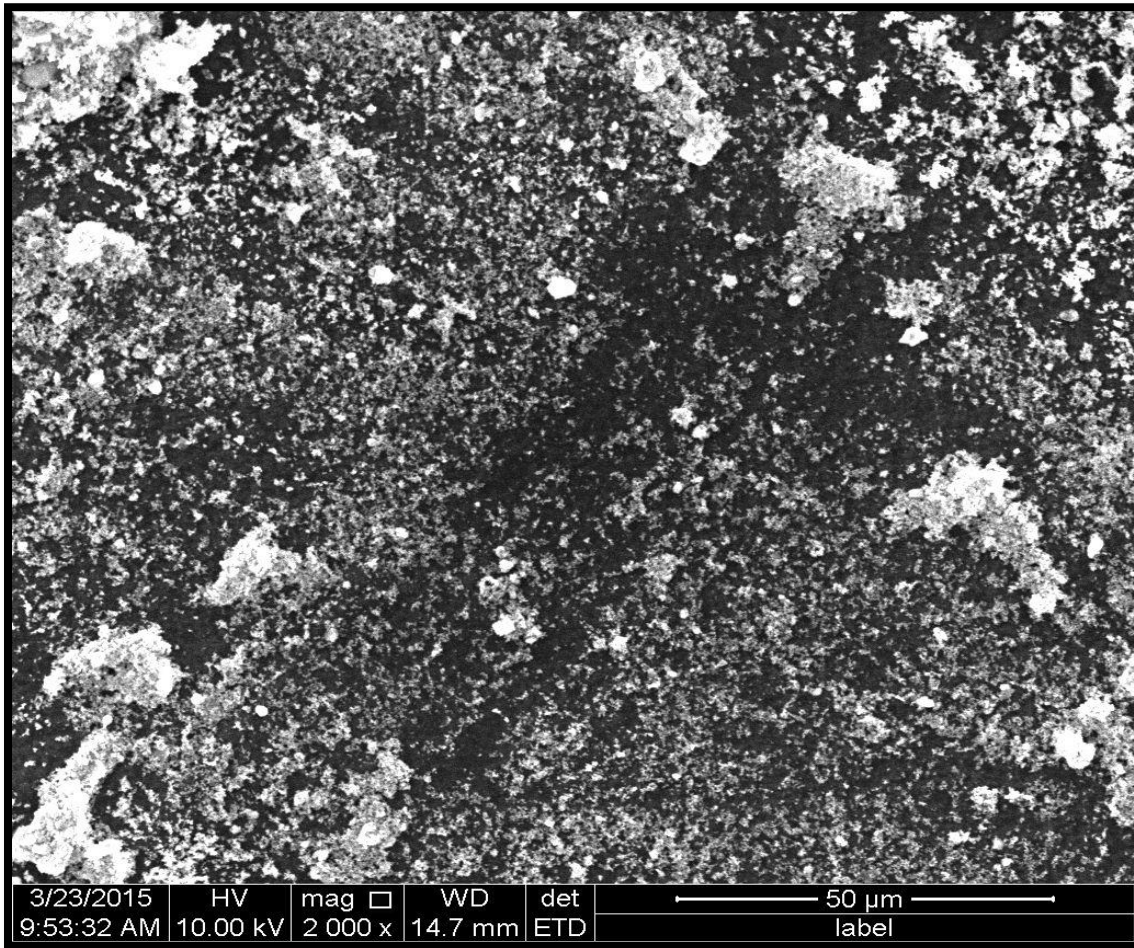
**شكل(5) مظهر فوقى للجسيمات النانوية لثانى اوكسيد التيتانيوم**



#### 4-1-4 المجهر الماسح الإلكتروني

توفر الصور الناتجة من هذا الجهاز معلومات عن المظهر الخارجي للجسيمات النانوية في الشكل (6) تظهر الجسيمات النانوية المصنعة الكروية الشكل كما ويمكن ملاحظة الثباتية من خلال عدم وجود تجمعات كثيرة لتلك الجسيمات.

الشكل (6) تظهر تجمعات الجسيمات النانوية الكروية الشكل



3-2 فحص الحساسية لجسيمات ثانوي اوكسيد التيتانيوم النانوية ضد البكتيريا الموجبة لصبغة كرام *Escherihia coli* والسلالة لصبغة كرام *Staphylococcus aurous* إن من أحد أهداف هذا البحث هو تقييم حساسية البكتيريا لجسيمات ثانوي اوكسيد التيتانيوم النانوية إذ تم استخدام نوعين من البكتيريا أحدهما موجب والأخر سالب لصبغة كرام وهما *Escherechia coli* و *Staphylococcus aureus* على التوالي ، وجود مناطق تثبيط هو دليل واضح على فعالية الجسيمات البيولوجية تجاه البكتيريا المستعملة إذ لوحظ إن أعلى تركيز للجسيمات يعطي أعلى منطقة تثبيط كما موضح في الجدول أدناه

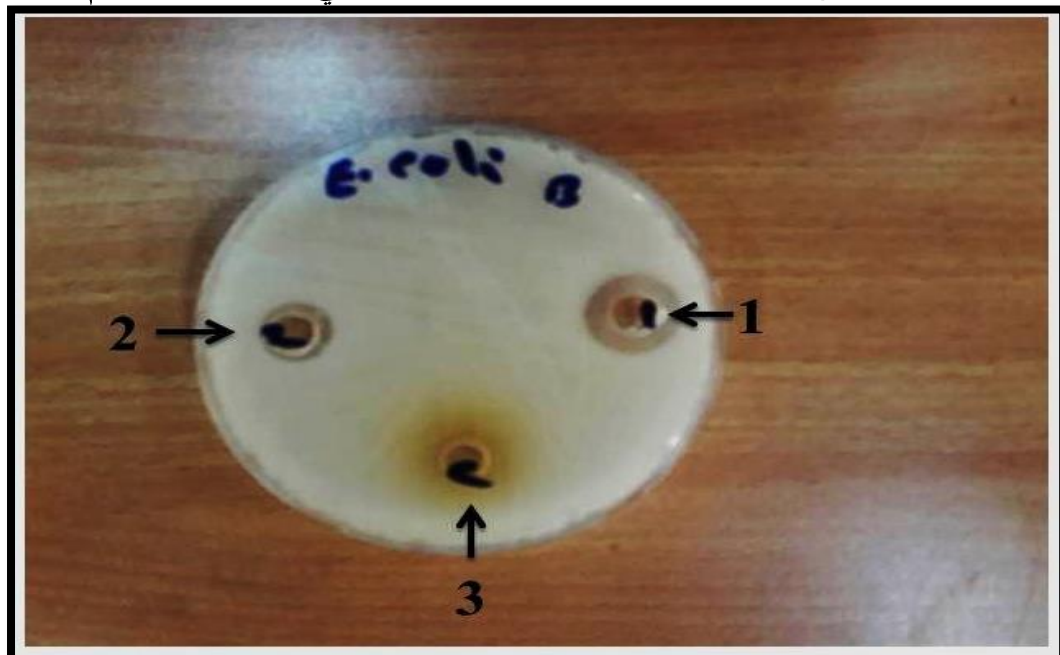
كذلك يمكن ملاحظة إن تأثير الجسيمات على البكتيريا الموجبة لصبغة كرام أكبر من تأثيرها على السالبة ويرجع السبب إلى الاختلاف في تركيب الجدار الخلوي للبكتيريا الموجبة والسائلة لصبغة كرام (24). وتعزى قابلية هذه الجسيمات على قتل وتنبيط النمو البكتيري إلى تفكك (decomposition) جدار البكتيريا بواسطة reactive oxygen species (ROS) (عملية OH-) إذ تقوم جذور الهايدروكسيل (OH-) بتحرر الأوكسجين في طبقة الشحوم المفسرة في جدار البكتيريا (peroxidation) إذ يتم تحرر الأوكسجين في طبقة الشحوم المفسرة في جدار البكتيريا ومن ثم موت البكتيريا(10).

**جدول (2) أقطار التثبيط لبكتيريا *Escherechia coli* و *Staphylococcus aureus***

نوع البكتيريا	السيطرة (راش) خلايا الفطر C	التركيز الأول (100 µgm/l)	التركيز الثاني (50µgm/l)
<i>Staphylococcus aureus</i>	0	4 mm	2mm
<i>Escherichia coli</i>	0	2mm	1mm

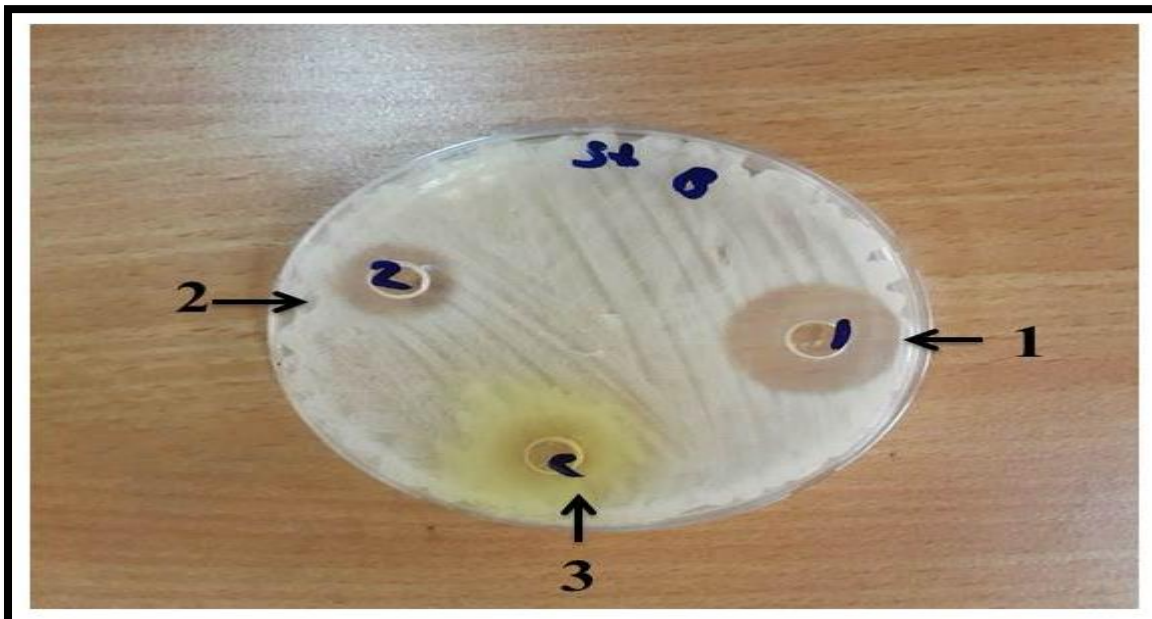
\* وجود اللون الأصفر حول حفرة السيطرة هو ليس منطقة تثبيط لكن هو انتشار لون راش خلايا الغزل الفطري وتم التأكد منه بأخذ مسحة من هذه المنطقة وزرعها بوسط Nutrient agar ولم يظهر أي نمو بكتيري.

**شكل 7 حساسية بكتيريا *Escherichia coli* لجسيمات ثانی اوکسید التیتانیوم النانویة**



التصنيع العيوي لجسيمات ثانوي اوكسيد التيتانيوم النانوية بواسطة فطريات معزولة من التربة .....  
عامر حسن حماس

شكل 8 حساسية بكتيريا *Staphylococcus aureus* لجسيمات ثانوي اوكسيد التيتانيوم  
النانية



## References

- [1] Mansoori, GA, 2005. Principles of Nanotechnology – Molecular-Based Study of Condensed Matter in Small Systems, World Scientific Pub. Co., Hackensack, NJ.
- [2] Azim, A., Davood, Z., Ali, F., Mohammad, R.M., Dariush, N., Shahram, T., Majid, M., Nasim, B., 2009. Synthesis and characterization of gold nanoparticles by tryptophane. Am. J. Appl. Sci. 6, 691–695.
- [3] Tapan, K.S., Andrey, L.R., 2009. Nonspherical noble metal nanoparticles: colloid chemical synthesis and morphology control. Adv. Mater. 21, 1–24.
- [4] Simkiss, K., Wilbur, K.M., 1989. “Biomineralization,” Cell Biology and Mineral Deposition, Academic. Press, New York, NY, [10.5402/2011/385480](https://doi.org/10.5402/2011/385480). Academic, New York.
- [5] Mann, S., 1996. Biomimetic Materials Chemistry. Wiley-VCH, New York.
- [6] R.W. Raut, J.R..Lakkakula, N.S. Kolekar, V.D. Mendulkar, S.B. Kashid, 2009. Photosynthesis of silver nanoparticle using *Gliricidiasepium*, Current Nanoscience 5, 117-122.

- [7] D.J. Anderson, M. Moskovits, 2006.A SERS –Active system based on silver nanoparticles tethered to a deposited sikverfilms.*J. Phys. Chem. B*, 110, 13722-13727.
- [8] Honary, S.; Barabadi, H.; Gharaeifathabad, E.; and Naghib, F., 2012. Green synthesis of copper oxide nanoparticles using *Penicilumaurantioriseum*, *Penicilliumcitrinum* and *Penicilliumwaksmanii*.*DigestJournal of Nanomaterials and Biostructures*. 3:999 – 1005.
- [9] L. Sang, Y. Zhao, C. Burda, 2014.TiO<sub>2</sub> nanoparticles as functional building blocks.*Chem. Rev.* 8; 114(19):9283-318.
- [10] Rajakumar, G.; Abdul Rahuman, A.; MohanaRoopan, S.; Gopiesh, V.; Khanna.; Elango, G.; Kamaraj, C.; Abduzzahir, A.; and Velayutham, K.,2012.Fungus-mediated biosynthesis and characterization of TiO<sub>2</sub> nanoparticles and their activity against pathogenic bacteria .*Spectro chimica Acta Part A* .91 : 23– 29.
- [11] Naveen, H. K.S.; Gaurav Kumar.; Karthik L.; and BhaskaraRaoK.V. , 2010. Extracellular biosynthesis of silver nanoparticles using the filamentous fungus *Penicillium* sp. *Archives of Applied Science Research*. 2 (6): 161-167.
- [12] Samson, R.A. and Hockstra, E.S., 1988. Introduction to food – Borne fung 3<sup>rd</sup> ed. Institute of the Royal Netherlands Acad. Arts & Sci.
- [13] Sangappa, M.; and Thiagarajan, P.,2012. Mycobiosynthesis and characterization of silver nanoparticles from *Aspergilusniger* .A soil fungal isolate .Polish j. of Microbiology.60 (1).
- [14] Basavaraja, S.S.; Balaji, S.D.; Lagashetty, A.K.; Rajasab, A.H.; and Venkataraman, A., 2008. Extracellular biosynthesis of silver nanoparticles using the fungus *Fusariumsemitectum*. *Materials Research Bulletin* .43: 1164-1170.
- [15] Myers, R., 2003. [The Basics of Chemistry](#). [Greenwood Publishing Group](#). Pp.13–14.United States.
- [16] Jayaseelan,C. ; Abdul Rahuman A. ; Kirthi A.V. ; Marimuthu, S.; Santhoshkumar, T. ; Bagavan, A. ; Gaurav, K. ; Karthik L. and Rao, K.V.B.,2012. Novel microbial route to synthesize ZnO nanoparticles using *Aeromonashydrophila* and their activity against pathogenic bacteria and fungi.*Spectro chimica Acta. Part A*90:78– 84.
- [17] Naveen, H. K.S.; Gaurav Kumar.; Karthik L.; and BhaskaraRaoK.V. , 2010. Extracellular biosynthesis of silver

- nanoparticles using the filamentous fungus *Penicillium sp.* *Archives of Applied Science Research.* 2 (6): 161-167.
- [18] Castro-Longoria, A.; Vilchis-Nestor, A.R.; and Avalos-Borja, M., 2011. Biosynthesis of silver, gold and bimetallic nanoparticles using the filamentous fungus *Neurosporacrassa*. *Colloids and Surfaces B: Biointerfaces.* 83: 42–48.
- [19] Prasad, K.; and Jha, A.K., 2009. ZnO Nanoparticles: Synthesis and Adsorption Study. *Natural Science*, 1, 129-135.
- [20] Kora, A.J.; Sashidhar, RB. and Arunachalam, J. ,2010 . Gum kondagogu (*Cochlospermumgossypium*): a template for the green synthesis and stabilization of silver nanoparticles with antibacterial application. *CarbohydrPolym.* 82:670-679.
- [21] CLSI. , 2011. Performance standard for antimicrobial susceptibility testing; Twenty-First informational supplement. M100-S21.vol.31 No. (1).
- [22] Atlas, R. M. (1995). Pathogenesis of Infectious Diseases in: Principles of Microbiology.1st ed., Mosby-Yearbook, Inc. Loui.Baltimore.
- [23] Vijayalakshmi, R. and Rajendran, V., 2012. Synthesis and characterization of nano-TiO<sub>2</sub> via different methods. *Archives of Applied Science Research*, 4 (2):1183-1190.
- [24] Fayaz, A., M.; Balaji. K.; Girilal, M.; Yadav, R.; Kalaichelvan, P., T.; Venkatesan, R., 2010. Biogenic synthesis of silver nanoparticles and their synergistic effect with antibiotics: a study against gram-positive and gram-negative bacteria. *Nanomedicine: Nanotechnology, Biology, and Medicine* 6. 103–109.

# Biosynthesis of $\text{TiO}_2$ nanoparticles by fungi isolated from soil

Amer Hasan Abbas

Biotechnology branch /Department of applied science /University of Technology, Baghdad

## Abstract

In the present study , the biosynthesis of  $\text{TiO}_2$  nanoparticles were included by fungi *Fusarium oxysporum* , the particle size were 30-90 nm , fungi *Fusarium oxysporum* was isolated from soil using serial dilution technique , biomass was harvested and used to biosynthesized  $\text{TiO}_2$  nanoparticles . The biosynthesis of  $\text{TiO}_2$  nanoparticles was characterized by UV Vis. Spectroscopy (UV) , X-ray diffraction (XRD) , atomic force microscope (AFM) and scanning electron microscope (SEM) studies .The biosynthesized  $\text{TiO}_2$  nanoparticles were tested against gram Positive and gram negative bacteria . results showed that  $\text{TiO}_2$  nanoparticals have a remarkable antibacterial activity against gram Positive and gram negative bacteria .

Key words: Biosynthesis of  $\text{TiO}_2$  nanoparticles, *Fusarium oxysporum* fungi, antibacterial activity .